

حل مسئله‌ی زمان‌بندی تولید کارگاهی انعطاف‌پذیر با یک مرحله‌ی مونتاژ و زمان آماده‌سازی وابسته به توالی

بِروز فتاحی*

گروه مهندسی صنایع، دانشگاه الزهرا، تهران

نمیمه باقری‌زاد (دانشجوی کارشناسی ارشد)

فاطمه دانش‌آموز (دانشجوی دکتری)

گروه مهندسی صنایع، دانشگاه بوعلی سینا، همدان

در این مقاله مسئله‌ی زمان‌بندی تولید کارگاهی انعطاف‌پذیر با یک مرحله‌ی مونتاژ و زمان آماده‌سازی وابسته به توالی با هدف کمینه‌سازی زمان تکمیل محصولات مورد بررسی قرار می‌گیرد. این مسئله، مدلی از سیستم‌های تولیدی است که در آن هر محصول از مونتاژ مجموعه‌یی از قطعات مختلف تولید می‌شود. در ابتدا، یک مدل برنامه‌ریزی خطی عدد صحیح مختلط توسعه داده شده است. اعتبارسنجی مدل ریاضی پیشنهادی با استفاده از نرم‌افزار GMS و به ازای مسائل کوچک و متوسط انجام شده است. سپس با توجه به این که مسئله‌ی مورد بررسی NP-hard است، الگوریتم بهینه‌سازی ازدحام ذرات و دو الگوریتم فراابتکاری ترکیبی برای حل مسائل در ابعاد متوسط و بزرگ پیشنهاده است. نتایج عددی الگوریتم‌های پیشنهادی با الگوریتم ترکیبی لی و گاثو مقایسه شده است. نتایج محاسباتی نشان می‌دهد که در ابعاد متوسط و بزرگ مسئله، الگوریتم ترکیبی بهینه‌سازی ازدحام ذرات و جست‌وجوی همسایگی متغیر نسبت به سایر الگوریتم‌ها عملکرد بهتری دارد.

واژگان کلیدی: زمان‌بندی تولید کارگاهی انعطاف‌پذیر، مونتاژ، زمان آماده‌سازی، الگوریتم‌های فراابتکاری.

۱. مقدمه

محصول نهایی بعد از مرحله‌ی پردازش قطعات وجود دارد. به عنوان مثال، لی و همکاران^[۱] یک کاربرد از مسائل دومرحله‌یی، در تولید خودروهایی با موتور احتراقی را نشان دادند. پاتس و همکاران^[۲] نیز کاربرد دیگری از این سیستم‌ها را در کارگاه تولیدی رایانه توضیح دادند.

زمان‌بندی سیستم‌های تولید کارگاهی انعطاف‌پذیر جایگاه ویژه‌یی در حوزه‌ی مدیریت تولید و مسائل بهینه‌سازی ترکیبی است. انعطاف‌پذیری در سیستم‌های تولیدی منجر به رفع مشکلات گوگاهی، افزایش تولید، بهبود عملکرد سیستم و ایجاد مزیت رقابتی می‌شود. در مطالعات انجام شده در زمینه‌ی تولید کارگاهی انعطاف‌پذیر مرحله‌ی مونتاژ نادیده گرفته شده است. لذا در این نوشتار مسئله‌ی تولید کارگاهی انعطاف‌پذیر با عملیات مونتاژ^[۳]؛ که یک سیستم تولید ترکیبی دومرحله‌یی^[۲] محسوب می‌شود، مورد مطالعه قرار می‌گیرد. همچنین یکی از مسائل حائز اهمیت در سیستم‌های تولید کارگاهی انعطاف‌پذیر، زمان راه‌اندازی عملیات‌هاست که در اغلب تحقیقات، زمان آماده‌سازی یا نادیده گرفته شده است یا به عنوان بخشی از زمان فرایند لحاظ شده است. منک کردن زمان آماده‌سازی از زمان پردازش، باعث بهبود عملکرد در تصمیم‌گیری‌ها خواهد بود.^[۴] زمان راه‌اندازی معمولاً به صورت‌های مستقل

یکی از عوامل کلیدی موقوفیت در هر سازمان تولیدی، تعیین برنامه‌ی زمان‌بندی و توالی عملیات در مسائل برنامه‌ریزی تولید است که نقش مهم و مؤثری در عملکرد واحد تولیدی و غیر تولیدی دارد. درنظر گرفتن هم زمان مراحل مختلف تولید در برنامه‌ریزی و زمان‌بندی انجام امور از اهمیت بالایی برخوردار است. چراکه بهینه‌کردن توالی انجام کارها در یک مرحله از تولید، بدون درنظر گرفتن پارامترها و ظرفیت‌های مرحله‌ی بعدی، تضییغی برای کوتاه شدن زمان کل تولید و استفاده بهینه از ماشین‌الات و سایر ظرفیت‌های موجود نخواهد بود. این مهم موجب شده است تا طی دو دهه اخیر محققین در ارائه و توسعه‌ی مدل‌های زمان‌بندی، مراحل تولید را -- که عموماً شامل دو مرحله پردازش و مونتاژ است -- با هم درنظر بگیرند. مسائل زمان‌بندی که در آن‌ها مراحل ساخت قطعات و مونتاژ محصولات هم زمان با هم در نظر گرفته شود، کاربرد زیادی در شرکت‌های بزرگ تولیدی، نظیر صنایع خودروسازی، تولید لوازم خانگی و هوایپما دارد. معمولاً در این صنایع، خطوط مونتاژی برای تولید

* نویسنده مسئول

تاریخ: دریافت ۱۲/۱۱/۱۳۹۵، اصلاحیه ۴/۲۷، پذیرش ۱۷/۵/۱۳۹۶.

DOI:10.24200/J65.2018.20092

محموله، زمان آماده‌سازی وابسته به توالی و محدودیت شیفت کاری را مورد بررسی قرار دادند. آن‌ها m ماشین در مرحله‌ی اول و n ماشین در مرحله‌ی مونتاژ در نظر گرفتند. یوکویاما^[۱۱] یک مدل ریاضی برای مسئله‌ی زمان‌بندی جریان کارگاهی با عملیات آماده‌سازی و مونتاژ پیشنهاد کرد، و تابع هدف را متوسط زمان اتمام کار برای تمام محصولات در نظر گرفت. در این مسئله عملیات‌ها به بلوک‌هایی تقسیم‌بندی می‌شوند. هر بلوک شامل عملیات ماشین‌کاری، آماده‌سازی و مونتاژ برای یک یا چند محصول است. اللوردی و الائزی^[۱۲] مسئله‌ی زمان‌بندی مونتاژ دو مرحله‌یی با هدف کمینه‌سازی زمان اتمام کارها را مورد بررسی قرار دادند. آن‌ها فرض کردند که زمان‌های آماده‌سازی وابسته به توالی است. آن‌ها یک الگوریتم شاخه و کران و سه روش ابتکاری ارائه کردند. نوابی و همکاران^[۱۳] جریان کارگاهی مونتاژ با ماشین‌های مونتاژ موازی غیریکسان و توالی وابسته به زمان آماده‌سازی را مورد بررسی قرار دادند. آن‌ها چهار الگوریتم فرالابتکاری ترکیبی را توسعه دادند و از یک الگوریتم هیوریستیکی جدید و الگوریتم شبیه‌سازی تبرید (SA)^۴ برای حل مرحله‌ی مونتاژ استفاده کردند. آزاده و همکاران^[۱۴] مسئله‌ی زمان‌بندی جریان کارگاهی مونتاژ دو مرحله‌ی احتمالی همراه با زمان‌های آماده‌سازی با اهداف کمینه‌سازی مجموع وزنی زمان تکمیل آخرين کار و میانگین زمان تکمیل کارها را مورد بررسی قرار دادند.

براساس مورود ادبیات انجام شده در زمینه سیستم‌های تولید دو مرحله‌ی وجود مسئله‌ی تولید کارگاهی انعطاف‌پذیر با یک مرحله‌ی مونتاژ و با در نظر گرفتن زمان آماده‌سازی برای اولین بار در این مقاله مورد مطالعه قرار می‌گیرد. مسئله‌ی تولید کارگاهی انعطاف‌پذیر توسعه یافته مسئله‌ی تولید کارگاهی است. به طور کلی مسئله‌ی تولید کارگاهی NP-hard است.^[۱۵] بنابراین مسئله‌ی مونتاژ بروز مطالعه ضمن برخورداری از تمامی پیچیدگی‌های مسئله‌ی تولید کارگاهی، پیچیدگی‌های جدیدی شامل مسئله‌ی تخصیص ماشین‌ها به عملیات‌ها و مونتاژ را نیز دارد. لذا مسئله‌ی مونتاژ در نظر گرفتند. در این مقاله، سه الگوریتم بهینه‌سازی ازدحام ذرات به آسانی قابل اجراست و دارای حافظه است. در این الگوریتم، عضای جمعیت با هم ارتباط دارند و از طریق تبادل اطلاعات به حل مسئله می‌پردازند؛ لذا این الگوریتم از سرعت همگرایی بالایی برخوردار است. این الگوریتم به دلیل قابلیت جست‌وجوی سراسری در فضای پیوسته بسیار مورد توجه است. اما این الگوریتم در شمار کمی از مقالات برای حل مسائل زمان‌بندی گسترش نیافرید.^[۱۶] همچنین در سال‌های اخیر محققان تلاش بسیاری برای بهبود الگوریتم بهینه‌سازی ازدحام ذرات انجام داده‌اند.^[۱۷-۲۱] به دلیل توانایی‌های الگوریتم بهینه‌سازی ازدحام ذرات و نتایج مطلوبی که از خود نشان داده است، سه الگوریتم فرالابتکاری مبتنی بر این الگوریتم پیشنهاد شده است.

۳. تعریف مسئله و مدل ریاضی

مسئله‌ی مورد بررسی در این مقاله مدل‌سازی و تعیین توالی انجام کارها در یک سیستم تولید ترکیبی دو مرحله‌یی است. مرحله‌ی اول، مسئله‌ی تولید کارگاهی انعطاف‌پذیر است که به صورت زمان‌بندی n قطعه از p محصول روی m ماشین تعریف می‌شود. هر قطعه دارای تعدادی عملیات است و برای هر عملیات، مجموعه‌یی از ماشین‌ها وجود دارد که توانایی انجام آن عملیات را دارند. بنابراین برای هر عملیات امکان انتخاب یک

یا وابسته به عملیات قبلی ماشین در نظر گرفته می‌شود. در این نوشتار فرض شده است که زمان را ماندازی وابسته به عملیات قبلی ماشین باشد. در این حالت میزان زمان را ماندازی ماشین برای عملیات جدید، به عملیات پیشین آن ماشین بستگی دارد. در ادامه‌ی این نوشتار در بخش ۲ به مرور ادبیات و پیشینه تحقیق مسئله پرداخته می‌شود. در بخش ۳ مسئله‌ی مورد بررسی تعریف و مفروضات، پارامترها متغیرهای تصمیم و مدل ریاضی مسئله ارائه می‌شود. در بخش ۴ الگوریتم‌های پیشنهادی و ساختار آن‌ها شرح داده می‌شود. در بخش ۵ آزمایشات عددی و ارزیابی عملکرد الگوریتم‌های پیشنهادی ارائه می‌شود. نتیجه‌گیری از کار و تحقیقات آنی نیز در بخش ۶ ارائه می‌شود.

۲. مرور ادبیات

انواع مختلفی از مسائل زمان‌بندی در زمینه سیستم‌های تولید دو مرحله‌ی وجود دارد. در ذیل، برخی از مقالات مربوط به مسائل زمان‌بندی دو مرحله‌یی مورد بررسی قرار گرفته است. لی و همکاران^[۱] در سال ۱۹۹۳ برای اولین بار، مسئله‌ی زمان‌بندی تولید دو مرحله‌یی با هدف کمینه‌سازی دوره‌ی ساخت را مورد مطالعه قرار دادند. آن‌ها نشان دادند که مسئله‌ی مورد نظر کاملاً NP-complete است. پاتس و همکاران^[۲] نیز دو سال بعد این مسئله را بررسی کرده و آن را به حالت عمومی تری تعمیم دادند. آن‌ها m ماشین پردازش در مرحله‌ی ساخت و یک ماشین برای مونتاژ در نظر گرفتند. حریری و پاتس^[۳] مسئله‌ی ارائه شده توسط لی و همکاران^[۱] را مورد مطالعه قرار دادند و یک حد پایین و چندین رابطه‌ی چیرگی ارائه کردند. مسئله‌ی تولید کارگاهی با عملیات مونتاژ با هدف کمینه‌سازی مجموع حداقل زمان تکمیل و نزد تحويل به موقع را مورد مطالعه قرار داد. ایشان یک الگوریتم زتیک^۲ با یک قاعده مبتنی بر رویه‌ی کدگذاری را برای حل مسئله ارائه داد. داشن آموز^[۴] با بررسی مسئله‌ی تولید کارگاهی همراه با یک مرحله‌ی مونتاژ موازی با هدف کمینه‌سازی زمان ساخت، دو الگوریتم فرالابتکاری پیشنهاد کرد. امروزه بقای هر سیستم تولیدی و خدماتی درگرو میزان قابلیت آن سیستم در سازگاری با نظر و سلیقه‌ی مشتری است. به منظور مطابقت با نیازهای بازار، سیستم‌های تولیدی باید انعطاف‌پذیر و کارآباشد. بنابراین انعطاف‌پذیری و زمان آماده‌سازی دو عامل مهم در مسائل زمان‌بندی هستند. فتاحی و همکاران^[۵] مسئله‌ی زمان‌بندی جریان کارگاهی ترکیبی مونتاژ دو مرحله‌یی با عملیات مونتاژ و زمان آماده‌سازی با هدف کمینه‌سازی زمان تکمیل تمام محصولات را مورد مطالعه قرار دادند. آن‌ها یک الگوریتم شاخه و کران سلسه‌مراتی و یک حد بالا براساس الگوریتم جست‌وجوی حریصانه^۳ را به منظور بهبود بهره‌وری ارائه کردند. کمکی و همکاران^[۶] مسئله‌ی زمان‌بندی جریان کارگاهی ترکیبی مونتاژ را مورد بررسی قرار دادند که در آن، چندین ماشین در مرحله‌ی اول و یک ماشین مونتاژ در مرحله‌ی دوم در نظر گرفته شد. آن‌ها الگوریتم سیستم ایمنی مصنوعی^۴، سیستم ایمنی مصنوعی بهبودیافته و الگوریتم‌های ابتکاری را پیشنهاد کردند. فتاحی و همکاران^[۷] مسئله‌ی زمان‌بندی جریان کارگاهی انعطاف‌پذیر مونتاژ را مورد بررسی قرار دادند. مسئله‌ی مونتاژ در مرحله‌ی دوم در نظر گرفته شد. آن‌ها الگوریتم سیستم ایمنی مصنوعی^۵، سیستم ایمنی مصنوعی بهبودیافته و الگوریتم‌های ابتکاری را پیشنهاد کردند. فتاحی و همکاران^[۸] مسئله‌ی زمان‌بندی جریان کارگاهی انعطاف‌پذیر مرحله‌ی اول، یک جریان کارگاهی انعطاف‌پذیر و مرحله‌ی دوم یک ماشین مونتاژ است. آن‌ها چند الگوریتم ابتکاری مبتنی بر الگوریتم جاسوسون را پیشنهاد کردند. نجاتی و همکاران^[۹] مسئله‌ی جریان کارگاهی ترکیبی مونتاژ با در نظر گرفتن جریان

۵. زمان پردازش قطعات و مونتاژ محصولات قطعی و معین است.

۶. وقتی که تولید همه اجزاء یک محصول به پایان رسید، وارد مرحله مونتاژ می شوند.

۷. ماشین ها نمی توانند در یک زمان بیش از یک عملیات انجام دهند و قطع کار مجاز نیست.

۸. در هر زمان هر قطعه فقط روی یک ماشین پردازش می شود.

۹. برای مشخص کردن شروع یک کار روی هر ماشین، یک کار مصنوعی صفر درنظر گرفته شده است. عملیاتی که به دنبال یک کار مصنوعی زمان بندی می شوند، اولین عملیات برای پردازش است.

۱.۱. پارامترهای مدل

P, P' : تعداد محصولات ($p = 0, 1, \dots, P, p' = 0, 1, \dots, P'$)

$n_p, n_{p'}$: تعداد زیر قطعات محصول p, p'

$(j = 0, 1, 2, \dots, n_p, j' = 0, 1, 2, \dots, n_{p'})$

j_h, h_j' : تعداد عملیات های قطعه j, j'

$(h = 1, 2, \dots, h_j, h' = 1, 2, \dots, h_{j'})$

m : تعداد کل ماشین ها در مرحله تولید کارگاهی انعطاف پذیر ($i = 1, 2, \dots, m$)
 K'_A : تعداد محصولات اختصاص یافته به ماشین مونتاژ در مرحله دوم ($k' = 1, 2, \dots, K'_A$)

$O_{j,p,h}$: عملیات از قطعه z از محصول p

$O_{j,p,h}$: زمان پردازش عملیات $O_{j,p,h}$ روی ماشین i

A_p : زمان مونتاژ محصول p

$a_{i,j,p,h}$: عملیات تخصیص یافته به ماشین i ، (اگر عملیات $O_{j,p,h}$ روی ماشین i انجام شود برابر ۱ و در غیر این صورت صفر است);
 $s_{i,j,p,j',p'}$: زمان مورد نیاز برای راه اندازی عملیات $O_{j',p',h'}$ در صورتی که عملیات $O_{j,p,h}$ بالا فاصله بعد از عملیات $O_{j',p',h'}$ انجام شود؛
 L : یک عدد بزرگ.

۱.۲. متغیرهای مدل

C_{\max} : زمان حداقل دوره ساخت؛

$t_{j,p,h}$: زمان شروع عملیات $O_{j,p,h}$

$f_{j,p,h}$: زمان پایان عملیات $O_{j,p,h}$

S_{tp} : زمان شروع عملیات مونتاژ محصول p

$S_{mk'}$: زمان شروع به کار ماشین مونتاژ در مرحله دوم در نوبت k'

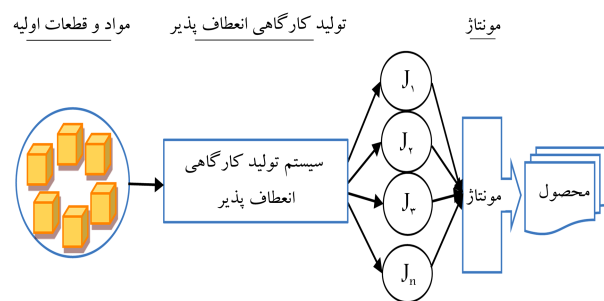
E_p : زمان ساخت محصول p در مرحله اول؛

C_p : زمان تکمیل محصول p ؛

$y_{i,j,p,h}$: یک متغیر صفر و ۱ است، به طوری که اگر ماشین i برای عملیات $O_{j,p,h}$ انتخاب شود برابر ۱ و در غیر این صورت ۰ است؛

$x_{i,j,p,h,j',p',h'}$: یک متغیر صفر و ۱ است، به طوری که اگر عملیات $O_{j',p',h'}$ روی ماشین i بالا فاصله بعد از عملیات $O_{j,p,h}$ انجام شود برابر ۱ و در غیر این صورت صفر است؛

$Z_{p,k'}$: یک متغیر صفر و ۱ است به طوری که اگر محصول p روی ماشین مونتاژ در نوبت k' مونتاژ شود برابر ۱ و در غیر این صورت صفر است.



شکل ۱. شمای مسئله تولید کارگاهی انعطاف پذیر با یک مرحله مونتاژ.

ماشین i از بین چند ماشین اختصاص داده شده وجود دارد و مسئله به دو زیرمسئله تخصیص و توالی تقسیم می شود. در این حالت هر قطعه دارای h_j عملیات است که باید به ترتیب انجام شود. اندیس z نشان دهنده قطعه، اندیس h نشان دهنده عملیات و اندیس i نشان دهنده ماشین است. همچنین j از قطعه z از محصول p با نماد $O_{j,p,h}$ ($j = 1, \dots, n, h = 1, \dots, h_j, p = 1, \dots, P$) نشان داده می شود. انجام هر عملیات $O_{j,p,h}$ یک ماشین i از مجموعه ماشین های اختصاص یافته به آن عملیات نیاز به زمان پردازش $P_{t,i,j,p,h}$ دارد. فرض شده است که عملیات $O_{j',p',h'}$ بالا فاصله بعد از عملیات $O_{j,p,h}$ انجام می شود. بنا برای زمان مورد نیاز برای راه اندازی عملیات $O_{j',p',h'}$ در نظر گرفته شده است. در مدل ارائه شده فرض برآن است که زمان آماده سازی وابسته به توالی مستقل از شماره عملیات های قطعات است ($s_{i,j,p,h,j',p',h'} = s_{i,j,p,h,j',P,h'}$). مرحله دوم، مسئله زمان بندی مونتاژ است که به صورت زمان بندی p محصول با زمان مونتاژ A_p تعریف می شود. شمای کلی این مسئله در شکل ۱ نمایش داده شده است.

برای روشن شدن مسئله، یک مثال کاربردی از آن ارائه شده است. فرض کنید یک شرکت لوازم خانگی، دو محصول جاروبرقی و ماشین لباسشویی تولید می کند. به طور کلی، تولید بدنه و موتور دو زیر فرایند اصلی هر دو محصول محسوب می شود. تولید محصولات مورد نظر شامل دو مرحله است: ۱. پردازش، ۲. تولید بدنه و موتور که در یک سیستم تولید کارگاهی انعطاف پذیر صورت می گیرد. این سیستم تولیدی شامل چندین عملیات مانند برش، شکل دهی، رنگ آمیزی و... است. در این مثال زمان راه اندازی ماشین، به عملیات پیشین آن بستگی دارد. مثلاً زمان آماده سازی عملیاتی که از مرحله شکل دهی به رنگ آمیزی می رود با عملیاتی که از مرحله برش به رنگ آمیزی می رود متفاوت است. در هر دو مورد اپراتور زمانی طول می کشد تا تنظیم قطعه می کند. به علاوه، در عملیات شکل دهی مدت زمانی طول می کشد تا بدنه سرد شود؛ ولی در عملیات برش نیازی به این زمان نیست. در مرحله دوم، پس از تکمیل قطعات مورد نیاز هر محصول، قطعات به همراه سایر تجهیزات و متعلقات با یکدیگر مونتاژ می شوند.

فرضیاتی که در مراحل مدل سازی در نظر گرفته شده اند، عبارت اند از:

۱. همه ماشین ها در افق برنامه ریزی در دسترس اند.

۲. تقاضای محصولات نهایی مشخص و همه قطعات در زمان صفر آماده پردازش اند.

۳. شکست در عملیات مجاز نیست؛ یعنی هر نوع عملیات شروع شده، باید بدون وقفه به اتمام برسد.

۴. تعدادی محصول باید تولید شود و هر محصول برای تکمیل شدن نیازمند یک سری قطعات است.

$$\sum_{k'=1}^{k'_A} Z_{p,k'} = 1, \quad p = 1, 2, \dots, P \quad (17)$$

$$x_{i,j,p,h,j',p',h'} = 0, \quad i = 1, 2, \dots, m, \quad j = 0, 1, \dots, n_p,$$

$$p = 0, 1, \dots, P, \quad h = 1, 2, \dots, h_j \quad (18)$$

$$x_{i,j,p,h,j',p',h'} \in \{0, 1\}, \quad i = 1, 2, \dots, m, \quad j = 0, 1, \dots, n_p,$$

$$p = 0, 1, \dots, P, \quad h = 1, 2, \dots, h_j, \quad j' = 1, \dots, n_{p'},$$

$$p' = 0, 1, \dots, P', \quad h' = 1, 2, \dots, h'_{j'} \quad (19)$$

$$y_{i,j,p,h} \in \{0, 1\}, \quad i = 1, 2, \dots, m, \quad j = 0, 1, \dots, n_p$$

$$p = 0, 1, \dots, P, \quad h = 1, 2, \dots, h_j \quad (20)$$

$$Z_{p,k'} \in \{0, 1\}, \quad P = 1, 2, \dots, P, \quad k' = 1, 2, \dots, k'_A \quad (21)$$

$$C_p, St_p, E_p \geq 0, \quad P = 1, 2, \dots, P \quad (22)$$

$$t_{j,p,h}, f_{j,p,h} \geq 0, \quad j = 0, 1, \dots, n_p, \quad p = 0, 1, \dots, P,$$

$$h = 1, 2, \dots, h_j \quad (23)$$

$$Sm_{k'} \geq 0, \quad k' = 1, 2, \dots, k'_A \quad (24)$$

مفهوم معادلات و محدودیت‌های این مدل به شرح زیر است: معادله ۱ نشان‌گر تابع هدف مدل است که زمان تکمیل محصولات را کمینه می‌کند. محدودیت ۲ مقدار تابع هدف را تعریف می‌کند. محدودیت‌های ۳ و ۴ توالی عملیات هر کار را مشخص می‌کنند. محدودیت ۵ بزرگ‌ترین زمان پردازش قطعات یک محصول را نشان می‌دهد. محدودیت ۶ موجب می‌شود که ماشین مورد نیاز برای هر عملیات ازین ماشین‌های تخصیص یافته به آن عملیات انتخاب شود. محدودیت ۷ موجب می‌شود که برای هر عملیات ازین ماشین‌های تخصیص یافته به آن عملیات، تنها یک ماشین انتخاب شود. محدودیت‌های ۸ و ۹ بیان می‌کنند هر ماشین در یک زمان فقط یک عملیات را، با دقتی‌گرفتن زمان آماده‌سازی پردازش می‌کند. محدودیت‌های ۱۰ و ۱۱ جایگشت‌های دایره‌ی (توالی) عملیات‌ها روی هر ماشین را تعریف می‌کنند. ۱۲ شدن مقدار سمت راست محدودیت ۱۰ بیان‌گر آن است که عملیات‌ام از قطعه‌ی j از محصول p روی ماشین i پردازش می‌شود. محدودیت ۱۰ نیز عملیات قبل و بعد از عملیات h ام از قطعه‌ی j از محصول p را مشخص می‌کند. بنا براین ترتیب توالی توسط محدودیت‌های ۱۰ و ۱۱ تعیین می‌شود. محدودیت ۱۲ کمترین زمان شروع مرحله‌ی مونتاژ را نشان می‌دهد. محدودیت ۱۳ بیان‌گر زمان تکمیل محصولات است. محدودیت ۱۴ این الزام را به وجود می‌آورد که در مرحله‌ی مونتاژ یک ماشین در صورتی می‌تواند به کار در نوبت i پردازد که کار آن ماشین در نوبت k' به اتمام رسیده باشد. محدودیت‌های ۱۵ و ۱۶ این الزام را به وجود می‌آورند که در مرحله‌ی دوم پردازش یک محصول در صورتی می‌تواند شروع شود که هم محصول قبلی آن به اتمام رسیده باشد و هم ماشین مونتاژ بیکار باشد. محدودیت ۱۷ موجب می‌شود که به ماشین مونتاژ در هر نوبت، تنها یک محصول اختصاص یابد.

۴. الگوریتم‌های پیشنهادی

با توجه به پیچیدگی مسئله‌ی مورد بررسی، الگوریتم‌های جستجوی دقیق برای حل آن نیازمند زمان محاسباتی زیادی هستند و این زمان با بزرگ شدن ابعاد مسئله به صورت نمایی افزایش می‌یابد و در برخی موارد نیز یافتن جواب بهینه عملاً امکان‌پذیر نیست. لذا الگوریتم‌های فراابتکاری که در بی به دست آوردن جواب با

با توجه به توضیحات فوق و با درنظر گرفتن پارامترها و متغیرهای تعریف شده، مدل ریاضی مسئله به صورت زیر تعریف می‌شود. مدل برنامه‌ریزی خطی عدد صحیح مختلط ارائه شده توسعه یافته‌ی مدل ریاضی سعیدی مهرآباد و فتاحی است.^[۲۲]

$$\text{Min } Z = (C_{\max}) \quad (1)$$

Subject to :

$$C_{\max} \geq C_p, \quad \forall p \quad (2)$$

$$t_{j,p,h} + y_{i,j,p,h} \cdot P t_{i,j,p,h} \leq f_{j,p,h}, \quad i = 1, 2, \dots, m,$$

$$j = 1, 2, \dots, n_p, \quad p = 1, 2, \dots, P, \quad h = 1, 2, \dots, h_j \quad (3)$$

$$f_{j,p,h} \leq t_{j,p,h+1}, \quad j = 1, 2, \dots, n_p, \quad p = 1, 2, \dots, P,$$

$$h = 1, 2, \dots, h_j - 1 \quad (4)$$

$$f_{j,p,h} \leq E_p, \quad j = 1, 2, \dots, n_p, \quad p = 1, 2, \dots, P,$$

$$h = 1, 2, \dots, h_j \quad (5)$$

$$y_{i,j,p,h} \leq a_{i,j,p,h}, \quad i = 1, 2, \dots, m, \quad j = 0, 1, \dots, n_p,$$

$$p = 0, 1, \dots, P, \quad h = 1, 2, \dots, h_j \quad (6)$$

$$\sum_{i=1}^m y_{i,j,p,h} = 1, \quad j = 0, 1, 2, \dots, n_p, \quad p = 0, 1, \dots, P,$$

$$h = 1, 2, \dots, h_j \quad (7)$$

$$t_{j,p,h} + P t_{i,j,p,h} + s_{i,j,p,j',p'} \leq t_{j',p',h'} + (1 - x_{i,j,p,h,j',p'}) \cdot L,$$

$$i = 1, 2, \dots, m, \quad j = 0, 1, \dots, n_p, \quad p = 0, 1, \dots, P,$$

$$h = 1, 2, \dots, h_j, \quad j' = 1, \dots, n_{p'}, \quad p' = 0, 1, \dots, P',$$

$$h' = 1, 2, \dots, h'_{j'} \quad (8)$$

$$f_{j,p,h} + s_{i,j,p,j',p'} \leq t_{j,p,h+1} + (1 - x_{i,j',p',h',j,p,h+1}) \cdot L,$$

$$i = 1, 2, \dots, m, \quad j = 1, \dots, n_p, \quad p = 1, \dots, P,$$

$$h = 1, 2, \dots, h_j - 1, \quad j' = 0, 1, \dots, n_{p'},$$

$$p' = 0, 1, \dots, P', \quad h' = 1, 2, \dots, h'_{j'} \quad (9)$$

$$\sum_{p=0}^P \sum_{j=0}^{n_p} \sum_{h=1}^{h_j} x_{i,j,p,h,j',p'} = y_{i,j',p',h'}, \quad i = 1, 2, \dots, m,$$

$$j' = 0, 1, \dots, n_{p'}, \quad p' = 0, 1, \dots, P', \quad h' = 1, 2, \dots, h'_{j'} \quad (10)$$

$$\sum_{p'=1}^{P'} \sum_{j'=0}^{n_{p'}} \sum_{h'=1}^{h'_{j'}} x_{i,j,p,h,j',p'} = y_{i,j,p,h}, \quad i = 1, \dots, m,$$

$$j = 0, 1, \dots, n_p, \quad p = 0, 1, \dots, P, \quad h = 1, \dots, h_j \quad (11)$$

$$E_p \leq St_p, \quad \forall p \quad (12)$$

$$A_p + St_p \leq C_p, \quad \forall p \quad (13)$$

$$Sm_{k'} + A_p \cdot Z_{p,k'} \leq Sm_{k'+1}, \quad \forall p, \quad k' = 1, 2, \dots, k'_A - 1 \quad (14)$$

$$Sm_{k'} \leq St_p + (1 - Z_{p,k'}) \cdot L, \quad \forall p, k' \quad (15)$$

$$Sm_{k'} + (1 - Z_{p,k'}) \cdot L \geq St_p, \quad \forall p, k' \quad (16)$$

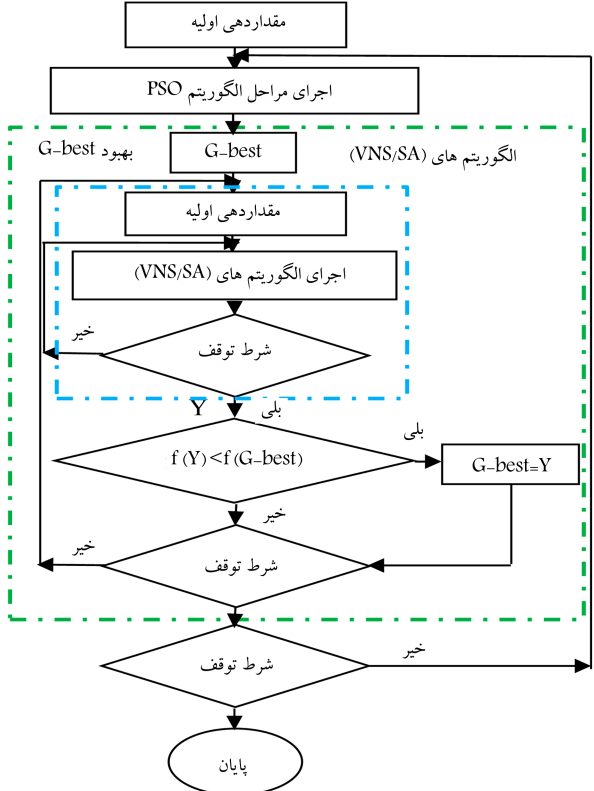
که در آن، $V_i(t)$ سرعت ذرهی i ام در مرحله‌ی جدید (t) ، $X_i(t)$ موقعیت ذرهی i ام در مرحله‌ی جدید (t) ، $P\text{-Best}_i$ بهترین موقعیت فردی ذرهی i ام، $G\text{-Best}$ بهترین موقعیت جمعی ذرات، w وزن اینرسی، r_1 و r_2 دو عدد تصادفی که دارای توزیع یکنواخت در بازه $(0, 1)$ هستند، c_1 و c_2 بهترین ضربی یا دگرگی فردی و ضربی یا دگرگی اجتماعی هستند که به ترتیب باعث می‌شوند ذره به سمت بهترین موقعیت فردی و بهترین موقعیت جمعی حرکت کند. ساختار کلی الگوریتم پیشنهادی همانند الگوریتم بهینه‌سازی ازدحام ذرات است. در این الگوریتم پس از تولید جمعیت اولیه، برای هر کدام از ذرات یک سرعت اولیه در نظر گرفته می‌شود و بنابر فرمول عنوان شده به جست‌وجو در فضای پردازد.

۲.۴. الگوریتم ترکیبی بهینه‌سازی ازدحام ذرات و جست‌وجوی همسایگی متغیر (HPSOVNS^{۱۰})

الگوریتم بهینه‌سازی ازدحام ذرات او سرعت همگرایی بالایی برخوردار است اما در نزدیکی نقطه‌ی بهینه‌ی فرایند جست‌وجو کند می‌شود و بقیه‌ی فضا را مورد کاوش قرار نمی‌دهد. لذا به منظور جلوگیری از افتادن در بهینه‌ی محلی و همگرایی زودرس، الگوریتم جست‌وجوی همسایگی متغیر^{۱۱} پیشنهاد شده است. این الگوریتم روشی مناسب برای بهبود فرایند جست‌وجو است که می‌تواند از بیشترین اطلاعات مربوط به مسئله برای بهبود کیفیت راه حل‌ها استفاده کند.

الگوریتم جست‌وجوی همسایگی متغیر توسط ملاندیچ و هانس در سال ۱۹۹۷ مطرح شد.^{۱۲} این الگوریتم یکی از الگوریتم‌های فراابتکاری برای ایجاد تغییرات سیستماتیک در طول فرایند جست‌وجو است.^{۱۳}^{۱۴} تغییرات سیستماتیک ساختار همسایگی به منظور فرار از نقطه‌ی بهینه محلی انجام می‌گیرد. این الگوریتم با یک راه حل اولیه کار خود را آغاز می‌کند و تا زمانی که معیار خاتمه (حداکثر تعداد تکرار) برقرار شود، حلقه‌ی اصلی الگوریتم تکرار می‌شود. حلقه‌ی اصلی الگوریتم شامل دو فاز آشفتگی و جست‌وجوی محلی است. در فاز آشفتگی الگوریتم از جواب فعلی (y) با استفاده از ساختار همسایگی به جواب همسایه (y') حرکت می‌کند. در فاز جست‌وجوی محلی نیز بر روی جواب y' با استفاده از روش‌های جست‌وجوی محلی، جست‌وجو انجام می‌گیرد و بهینه‌ی محلی y' به دست می‌آید. سپس، بهینه‌ی محلی y' با راه حل فعلی y از نظر کیفیت راه حل مقایسه می‌شود. اگر y' بهتر از y باشد، یعنی در صورتی که بهبودی در راه حل ایجاد شود، y' جایگزین y می‌شود و جست‌وجو دوباره با ساختار همسایگی اول با y' بهروز شده آغاز می‌شود. در غیر این صورت، حلقه‌ی جست‌وجو توسط ساختار همسایگی بعدی تکرار می‌شود. در این مورد، ساختار محلی به صورت سیستماتیک تغییر می‌کند و روش آشفتگی برای کاوش یک منطقه‌ی دیگر از فضا و انجام جست‌وجوی محلی جدید صورت می‌گیرد. پس از این که همه‌ی ساختارهای همسایگی بررسی شد و هیچ بهبودی برای راه حل y به دست نیامد، تکرار بعدی الگوریتم آغاز می‌شود.

در الگوریتم ترکیبی پیشنهادی از مرایا ام هر دو الگوریتم بهینه‌سازی ازدحام ذرات و جست‌وجوی همسایگی متغیر استفاده می‌شود. در این روش ترکیبی در ابتدا، بهترین راه حل سراسری توسط الگوریتم بهینه‌سازی ازدحام ذرات به دست می‌آید. سپس، الگوریتم جست‌وجوی همسایگی متغیر بر روی بهترین راه حل سراسری پیدا شده در هر تکرار، به منظور بهبود بهترین راه حل سراسری، اعمال می‌شود. فلوچارت الگوریتم ترکیبی پیشنهادی در شکل ۲ نشان داده شده است.



شکل ۲. فلوچارت الگوریتم‌های ترکیبی پیشنهادی.

کیفیت در زمان معقول باشند، در حل این مسئله کاربرد بسیاری دارد. به همین منظور در این نوشتار، الگوریتم بهینه‌سازی ازدحام ذرات و دو الگوریتم فراابتکاری ترکیبی پیشنهاد شده است. نحوی عملکرد الگوریتم‌های ترکیبی پیشنهادی در شکل ۲ نشان داده شده است.

۱.۴. الگوریتم بهینه‌سازی ازدحام ذرات

الگوریتم بهینه‌سازی ازدحام ذرات یکی از مهم‌ترین الگوریتم‌هایی است که در حوزه‌ی هوش جمعی می‌گیرد. این الگوریتم برای اولین بار توسط جیمز کندی و راسل سی ابرهارت در سال ۱۹۹۵ مطرح و با الهام از رفتار اجتماعی حیواناتی چون ماهی‌ها و پرندگان که در گروه‌های کوچک و بزرگ کنار هم زندگی می‌کنند، طراحی شده است.^{۲۳} در الگوریتم بهینه‌سازی ازدحام ذرات هر جواب مسئله، موقعیت یک ذره در فضای جست‌وجو را نشان می‌دهد. تغییر مکان هر ذره در فضای جست‌وجو تحت تأثیر بهترین جوابی است که تاکنون برای هر ذره به طور جداگانه به دست آمده است، و آن را «بهترین موقعیت فردی»^۸ می‌نامند؛ و آن بهترین مقداری است که تاکنون تحت عنوان «بهترین موقعیت جمعی»^۹ و توسط تمام ذره‌ها در میان جمعیت به دست آمده است. معادلات مربوط به موقعیت و سرعت ذرات چنین تعریف می‌شوند:

$$V_i(t) = W \times V_i(t-1) + c_1 \times r_1 \times (P\text{-Best}_i - X_i(t-1)) + c_2 \times r_2 \times (G\text{-Best} - X_i(t-1)) \quad (25)$$

$$X_i(t) = X_i(t-1) + V_i(t) \quad (26)$$

۱.۲.۴. ساختار کلی الگوریتم‌های پیشنهادی

(الف) نمایش راه حل

هر عضو از جمعیت دارای دو بخش است: ۱. تخصیص ماشین‌ها به عملیات و

توالی عملیات روی ماشین‌ها در زیرمسئله‌ی تولید کارگاهی انعطاف‌پذیر؛ ۲. توالی

محصولات روی ماشین موتاشر. در بخش اول موقعیت هریک از ذرات توسط دو

بردار شناس داده شده است: ۱. بردار تخصیص ماشین؛ ۲. بردار توالی عملیات.

بردار توالی عملیات شامل دو بردار است. در بردار اول، قطعه، از نمایش جن و

همکاران^[۲۶] استفاده شده است. هر عنصر از بردار، یک عملیات از قطعه زرناشان

می‌دهد. در این نحوه نمایش تمام عملیات یک قطعه با نماد یکسان نمایش داده

می‌شوند. بردار دوم نمایانگر شماره‌ی محصول قطعات است. در بردار تخصیص،

هر عدد نشان‌دهنده‌ی ماشین انتخاب شده برای عملیات‌های متناظر در بردار توالی

است. در این نحوه نمایش طول رشته‌ی بردار توالی و تخصیص برابر با تعداد

کل عملیات است. در بخش دوم، توالی محصولات توسط یک بردار نمایش داده

شده است. هر عدد در این بردار نشان‌دهنده‌ی شماره‌ی محصول است. این نحوه

نمایش شدنی بودن راه حل‌های به روزرسانی شده را به صورت خودکار انجام می‌دهد.

شکل ۳ یک راه حل شدنی برای مسئله‌ی زمان‌بندی تولید کارگاهی انعطاف‌پذیر با

یک مرحله‌ی مونتاژ با ۲ محصول و ۳ ماشین را نشان می‌دهد. در این مثال محصول

۱ و ۲ به ترتیب ۳ و ۲ قطعه دارند. قطعات ۲، ۱، ۳ از محصول ۱ به ترتیب دارای

۱، ۱، ۱ عملیات و قطعات ۱ و ۲ از محصول ۲ به ترتیب دارای ۱ و ۲ عملیات

هستند. به عنوان مثال قطعه‌ی ۲ از محصول ۲ دارای ۲ عملیات است که به ترتیب

در خانه‌های ۱ و ۴ قرار گرفته‌اند.

(ب) مقداردهی اولیه

جمعیت اولیه یکی از ویژگی‌های الگوریتم‌های تکاملی است که بر سرعت همگرایی

و کیفیت راه حل نهایی تأثیر می‌گارد. در مسئله‌ی مورد مطالعه، تولید جمعیت اولیه

در مرحله‌ی اول دارای دو بخش است: ۱. تخصیص ماشین‌ها به عملیات؛ ۲. توالی

عملیات. برای تولید تخصیص‌های اولیه از دو قاعده‌ی پرلا و همکاران^[۲۷] استفاده

شده است: جست‌وجو برای کمینه‌ی سراسری در جدول زمان پردازش؛ و تغییر دادن

مکان کارها و ماشین‌ها به صورت تصادفی در جدول زمان پردازش. تکیی از این

دو قانون مجموعه‌ی اولیه از تخصیص‌ها را تولید می‌کند. هر دو قاعده نسخه‌های

اصلاح شده‌ی رویکرد محلی‌سازی پیشنهادی توسط کاکم و همکاران^[۲۸] هستند.

در این مقاله ۲۰ درصد از تخصیص‌های اولیه توسط قاعده‌ی اول و ۸۰

توسط قاعده‌ی دوم تولید می‌شوند. در این نوشتار، توالی اولیه‌ی عملیات در مرحله‌ی

توالی عملیات	قطعه	۲	۳	۱	۲	۱	۲	۳
	محصول	۲	۱	۲	۲	۱	۱	۱
تخصیص ماشین	۱		۲	۳	۲	۱	۳	۲

(الف)

توالی محصول	۲	۱
----------------	---	---

(ب)

شکل ۳. نحوه نمایش راه حل.

اول و توالی محصولات در مرحله‌ی دوم از قاعده‌ی تصادفی به دست می‌آید. در این قاعده به طور تصادفی نماد اعداد مرتب می‌شوند.

ج) ساختار همسایگی

روش انتقال از یک راه حل به راه حل همسایه آن توسط یک عامل کلیدی شناخته شده تحت عنوان ساختار همسایگی صورت می‌گیرد. در این بخش بنچ نوع از ساختارهای همسایگی به کار رفته در الگوریتم جست‌وجوی همسایگی متغیر معرفی می‌شوند.^[۲۹]

- ساختار همسایگی ۱. توالی عملیات و محصولات در رشته مربوط به راه حل کاندید را تغییر می‌دهد. در این ساختار یک سلول به صورت تصادفی انتخاب می‌شود، سپس عمليات/محصول از سلول انتخاب شده با عملیات/محصول از سلول قبلی جایگزین می‌شود.

- ساختار همسایگی ۲. در این ساختار ابتدا یک عملیات به صورت تصادفی که قادر به پردازش روی بیش از یک ماشین است، انتخاب می‌شود. سپس یک ماشین جدید به طور تصادفی انتخاب شده و این عملیات به آن تخصیص داده می‌شود.

- ساختار همسایگی ۳. ساختار ۱ و ۲ به طور هم‌زمان روی راه حل کاندید اجرا می‌شود.

- ساختار همسایگی ۴. در این ساختار ابتدا ماشین‌هایی با بیشترین و کمترین عملیات به طور تصادفی از ماشین با بیشترین بار کاری انتخاب می‌شود و به ماشین با کمترین بار کاری تخصیص داده می‌شود. بار کاری ماشین برابر است با مجموع زمان‌های پردازش عملیات‌های تخصیص یافته به ماشین.

- ساختار همسایگی ۵. در این ساختار ابتدا دو قطعه از دو یک محصول به صورت تصادفی انتخاب می‌شوند. اگر تعداد عملیات از دو قطعه انتخاب شده برابر باشند، مکان عملیات‌های دو قطعه در رشته راه حل کاندید به صورت یک به یک، با توجه به شماره عملیات‌ها عوض می‌شوند. در مقابل، اگر تعداد عملیات‌ها در دو قطعه برابر نباشد، عملیات‌های مربوط به قطعه با تعداد عملیات کمتر، با رعایت محدودیت‌های توالی به سلول‌هایی از قطعه با تعداد عملیات بیشتر منتقل می‌شوند؛ و عملیات‌های مربوط به قطعه با تعداد عملیات بیشتر، سلول‌های باقی‌مانده خود و تمام سلول‌های قبایلی از قطعه با تعداد عملیات کمتر را با رعایت محدودیت‌های توالی پر می‌کنند. این ساختار همسایگی با ایجاد تغییر نسبتاً بزرگ در راه حل اولیه، خطرگیر افتادن در بهینه محلی را کاهش می‌دهد. یک مثال از نحوه اجرا شدن این ساختار همسایگی در شکل ۴ ارائه شده است. در این مثال قطعه‌ی ۱ از محصول ۳ و قطعه‌ی ۳ از محصول ۲ برای جایگزینی انتخاب شده است.

د) انطباق الگوریتم بهینه‌سازی ازدحام ذرات با جواب مسئله (فضای گسسته)
جواب مسئله‌ی تولید کارگاهی انعطاف‌پذیر با یک مرحله‌ی مونتاژ به صورت توالی از اعداد گسسته است در حالی که الگوریتم بهینه‌سازی ازدحام ذرات برای حل مسائل با فضای پیوسته طراحی شده است. اما با توجه به کارایی بالای این الگوریتم، تاکنون مسائل گسسته‌ی زیادی با آن حل شده است. در الگوریتم پیشنهادی بعد از هر بار به روزرسانی موقعیت ذرات، هریک از درایه‌های بردار به تزدیک‌ترین عدد صحیح تبدیل می‌شود. بردار به دست آمده در این مرحله جواب نشدنی از مسئله را نشان

تابع هدف آن محاسبه می‌شود. در این گام دمای اولیه (T_0) به عنوان دمای جاری (T_e) در نظر گرفته می‌شود. در گام دوم، در هر دما، یک زنجیره مارکف ایجاد می‌شود. بدین منظور، یک راه حل همسایه در همسایگی راه حل جاری پیدا می‌شود. در صورتی که همسایه‌ی جدید مقدار تابع را بهبود بدهد یا برابر آن باشد، الگوریتم از یک نقطه به نقطه‌ی دیگر حرکت می‌کند. در غیر این صورت، همسایه با تابع احتمال $e^{\frac{\Delta F}{T_c}}$ ارزیابی می‌شود. ΔF اختلاف بین مقادیر تابع هدف جواب راه حل جاری و همسایه جدید است. برای این منظور مقدار تصادفی ($U(0, 1)$) $p \sim$ تولید شده و سپس با تابع احتمال مقایسه می‌شود. در صورتی که مقدار p کمتر از تابع احتمال باشد، راه حل همسایه به عنوان راه حل جاری پذیرفته می‌شود. علاوه بر به هنگام‌سازی راه حل جاری، بهترین راه حل نیز در این گام به نگام می‌شود. بدین منظور، هر راه حل جدید که منجر به بهبود راه حل جاری شود، آن راه حل با بهترین راه حل مقایسه می‌شود. اگر این راه حل از بهترین راه حلی که تا به حال پیدا شده است، بهتر باشد، جایگزین راه حل بهتر می‌شود. این گام تا زمانی ادامه می‌یابد که زنجیره‌ی مارکوف به انتهای برسد. برای زنجیره‌ی مارکوف یک طول معین مشخص شده است. زمانی که تعداد جستجو (تامیل نقاط پذیرفته شده و رد شده) به طول مشخص برسد، زنجیره پایان می‌یابد. در طول زنجیره، دما ثابت می‌ماند. در گام سوم، بعد از اتمام یک زنجیره، کاهش دما اتفاق خواهد افتاد. این کاهش موجب می‌شود تعداد کمتری از جواب‌های نامطلوب پذیرفته شود. تعیین قانون و تابع کاهش دما و حرکت به سمت سرد شدن سیستم، نیازمند ضابطه‌ی است که به شکل زیر ارائه شده است:

$$T_i = \infty \quad (T_{i-1}) \quad \forall i = 1, 2, \dots, n \quad (27)$$

\propto ضریب تبرید یا ضریب کاهش دماست که ثابتی کمتر از ۱ است. در گام چهارم، شرط توقف الگوریتم بررسی می‌شود. در صورتی که شرایط توقف برآورده شود، الگوریتم متوقف و در غیر این صورت به گام دوم برمی‌گردد.

الگوریتم شبیه‌سازی تبرید از توقف در ناحیه‌ی بهینه‌ی محلی اجتناب کرده و توانایی گذر از آن را دارد. امروزه انجامات تدریجی به عنوان یک تکنیک قوی جستجوی همسایگی شناخته شده است که توانایی آن در حل مسائل ترکیبی مانند مسیر یابی وسائل نقلیه، زمان‌بندی تولید و جدول زمانی اثبات شده است.^[۲۱] به منظور بهبود فرایند جستجوی الگوریتم بهینه‌سازی ازدحام ذرات، الگوریتم شبیه‌سازی تبرید پیشنهاد شده است. در هر تکرار از الگوریتم ترکیبی پیشنهادی، بهترین موقعیت جمعی به دست آمده توسط الگوریتم شبیه‌سازی تبرید بهبود داده می‌شود. در این الگوریتم از ساختارهای همسایگی ۲ و ۴ که در بخش قبل ارائه شد، استفاده شده است. سایر جزئیات این الگوریتم از جمله مقداردهی اولیه، نحوه‌ی نمایش راه حلها و سایر موارد، مشابه الگوریتم پیشنهادی PSO و HPSOVS است.

۵. نتایج محاسباتی

در این قسمت نتایج محاسباتی به دست آمده از اجرای مدل ریاضی و الگوریتم‌های پیشنهادی مورد بررسی و مقایسه قرار می‌گیرد. برای این هدف، مدل ریاضی و الگوریتم‌های پیشنهادی، به ترتیب در نرم‌افزارهای GAMS (R2011a) و MATLAB کدنویسی شده است. با توجه به این‌که اطلاعات مربوط به مسائل حل شده در مقالات مشابه برای مسئله‌ی مورد نظر وجود ندارد، از نمونه‌های تصادفی، به منظور بررسی و اعتبارسنجی مدل ریاضی پیشنهادی و همچنین کیفیت نتایج الگوریتم‌های

توالی عملیات	قطعه	۳	۱	۱	۱	۱	۲	۱	۳
		محصول	۲	۲	۳	۱	۳	۲	۳
تخصیص ماشین									
توالی عملیات	قطعه	۱	۱	۳	۱	۳	۲	۱	۱
		محصول	۳	۲	۲	۱	۲	۲	۳
تخصیص ماشین									

شکل ۴. ساختار همسایگی ۵.

حال	توالی عملیات	۰/۳۹	۲/۱۸	۱/۰۷	۲/۸۶	۱/۴۱	۳/۲۷
پیوسته	توالی محصول	۲/۰۷	۳/۱۹	۱/۶۸			
حال	توالی عملیات	۰	۲	۱	۳	۱	۳
گستته	توالی محصول	۲	۳	۲			
(نشدنی)	توالی عملیات	۱	۲	۱	۲	۱	۳
گستته	توالی محصول	۱	۲	۳	۲	۲	۲
(نشدنی)	تخصیص ماشین	۲	۲	۲	۱	۲	۳
حال	توالی محصول	۲	۳	۱			

شکل ۵. تبدیل جواب پیوسته به گستته.

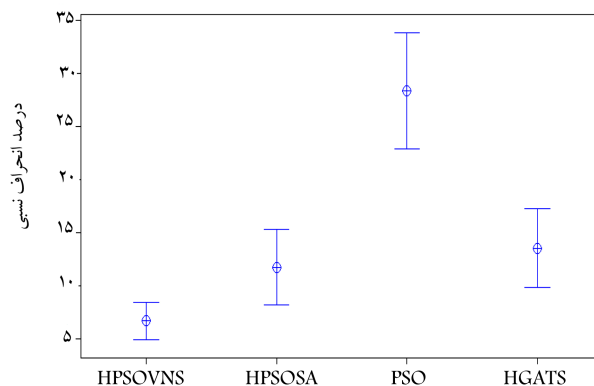
می‌دهد. لذا برای تولید یک جواب شدنی، هر یک از درایه‌های بردار که بردار که مقدار آن‌ها با شماره قطعات یا تعداد عملیات قطعات برای نیستند را مشخص و به نزدیک ترین عدد صحیح مورد نیاز در بردار تبدیل می‌کنند.^[۶] شکل ۵ موقعیت بروزرسانی شده‌ی ذره (پیوسته) و همچنین چگونگی تبدیل آن به یک جواب گستته را نشان می‌دهد. در شکل ۵ نزدیک ترین عدد صحیح به عدد ۰/۳۹ عدد صفر است؛ اما چون قطعه‌ی صفر نداریم، عدد ۰/۳۹ به ۱ تبدیل می‌شود. همچنین نزدیک ترین عدد صحیح به عدد ۲/۸۶ عدد ۳ است؛ اما چون عدد ۳ دو بار ایجاد شده و قطعه‌ی ۳ نیز فقط یک عملیات دارد، عدد ۲/۸۶ به نزدیک ترین عدد صحیح ممکن یعنی ۲ تبدیل می‌شود. در بردار توالی محصول، نزدیک ترین عدد صحیح به عدد ۱/۶۸ عدد ۲ است، اما چون هر محصول فقط یک بار مونتاژ می‌شود، عدد ۱/۶۸ به نزدیک ترین عدد صحیح یعنی ۱، تبدیل می‌شود. در انتها بردار دوم توالی (محصول) و تخصیص ماشین به روزرسانی می‌شود.

۴.۳. الگوریتم ترکیبی بهینه‌سازی ازدحام ذرات و شبیه‌سازی تبرید (HPSOSA)^[۱۲]

الگوریتم شبیه‌سازی تبرید، ایده و سازوکار موجود در تبرید فیزیکی یک جسم جامد را شبیه‌سازی می‌کند. این ایده اولین بار در سال ۱۹۵۳ توسط متزوپلیس مطرح شد.^[۳۰] این الگوریتم در سال ۱۹۸۳ توسط کریک پاتریک و همکاران توسعه داده شد. آن‌ها الگوریتمی به نام شبیه‌سازی تبریدی برای حل مسائل بهینه‌سازی ترکیبی ارائه کردند.^[۲۱] در این الگوریتم در ابتدا، یک راه حل اولیه ایجاد و مقدار

مدت زمان اجرای یکسان به جواب بھینه، مشابه راه حل بھینه‌ی به دست آمده توسط گمز دست می‌یابند. با این تفاوت که با افزایش ابعاد مسئله، زمان محاسباتی حاصل از نرم‌افزار گمز بیشتر از الگوریتم‌های فراابتکاری است. برای مسائل با ابعاد متوسط نیز جواب بھینه توسط نرم‌افزار گمز به دست آمد. بدلیل زیاد بودن زمان محاسباتی توسط نرم‌افزار گمز، مسائل با ابعاد بزرگ نیز توسط الگوریتم‌های HPSOVNS، PSO و HGATS حل شده‌اند. همچنین به‌منظور بررسی عملکرد الگوریتم‌ها در ابعاد متوسط و بزرگ، از ضریب انحراف معیار استفاده شده است. نتایج به دست آمده برای مسائل با ابعاد متوسط در جدول ۶ نشان داده شده است. نمودار متوسط مقادیر درصد انحراف نسبی با بازه اطمینان ۹۵٪ برای مسائل با ابعاد متوسط در شکل ۶ ترسیم شده است. چنان‌که در جدول ۶ و شکل ۶ نشان داده شده است مقادیر درصد انحراف نسبی و ضریب انحراف معیار الگوریتم کمتر از سه الگوریتم دیگر است. بنابراین، برتری الگوریتم HPSOVNS نسبت به سایر الگوریتم‌ها قابل مشاهده است. بدلیل ماهیت پیچیده‌ی مسئله، مسائل با ابعاد بزرگ فقط توسط الگوریتم‌های HPSOSA، HPSOVNS، PSO و HGATS حل شده است. با توجه به مقادیر درصد انحراف نسبی ارائه شده در جدول ۷، نمودار متوسط مقادیر درصد انحراف نسبی در شکل ۷ ترسیم شده است. با توجه به مقادیر درصد انحراف نسبی و ضریب انحراف معیار در مسائل با ابعاد بزرگ، الگوریتم HPSOVNS نسبت به سایر الگوریتم‌ها عملکرد بهتری دارد. علاوه بر این، مشاهده

نمودار فاصله بی الگوریتم‌های HPSOVNS، HPSOSA، PSO، HGATS
فاصله اطمینان ۹۵٪



شکل ۶. نمودار میانگین مقادیر درصد انحراف نسبی با بازه اطمینان ۹۵٪ برای الگوریتم‌های پیشنهادی در مسائل متوسط.

پیشنهادی استفاده شده است. نحوه تولید نمونه‌های تصادفی در جدول ۱ آورده شده است. اعتبارسنجی مدل ریاضی پیشنهادی با استفاده از نرم‌افزار گمز و به‌ازای مسائل کوچک و متوسط انجام شده است. به‌منظور اعتبارسنجی الگوریتم‌های پیشنهادی، نتایج به دست آمده با الگوریتم تکیه‌ی ژنتیک و جستجوی ممنوع [۲۴] و گائو [۲۵] مورد مقایسه قرار گرفته است.

تنظیم مناسب پارامترها و انتخاب درست عملکردها در الگوریتم‌های فراابتکاری تأثیر به‌سزایی بر عملکرد آن‌ها دارد که می‌بایست با توجه به شرایط مسئله مورد بررسی، تعیین شود. در این مقاله، به‌منظور تنظیم پارامترها از روش تاگوچی استفاده شده است. بدین منظور نمونه‌ها به سه گروه با اندازه کوچک، متوسط و بزرگ تقسیم شده‌اند و مقادیر مختلف فاکتورهای تأثیرگذار بر عملکرد الگوریتم‌ها مورد آزمایش قرار گرفته است. مقادیر مناسب پارامترهای الگوریتم‌های HPSOSA، HPSOVNS، PSO، HGATS، بهترین در جداول ۲ تا ۴ نشان داده شده است.

به‌منظور بررسی عملکرد الگوریتم‌ها و مدل ریاضی پیشنهادی، از معیار عملکرد درصد انحراف نسبی، استفاده شده است. این معیار از رابطه ۲۸ محاسبه می‌شود.

$$RPD = \frac{\text{Algorithm}_{\text{solution}} - \text{Minimum}_{\text{solution}}}{\text{Minimum}_{\text{solution}}} * 100 \quad (28)$$

که در آن $\text{Algorithm}_{\text{solution}}$ تابع هدف حاصل از حل یک نمونه با استفاده از الگوریتم مورد نظر و $\text{Minimum}_{\text{solution}}$ کمترین مقدار تابع هدف حاصل از حل آن نمونه با استفاده از روش‌های حل مورد مقایسه است.

۱.۵. تجزیه و تحلیل

برای مسائل با ابعاد کوچک جواب بھینه توسط نرم‌افزار گمز به دست آمد. نتایج به دست آمده در جدول ۵ نشان داده شده است. با توجه به مقادیر تابع هدف و درصد انحراف نسبی، الگوریتم‌های HPSOSA، HPSOVNS، PSO و HGATS در

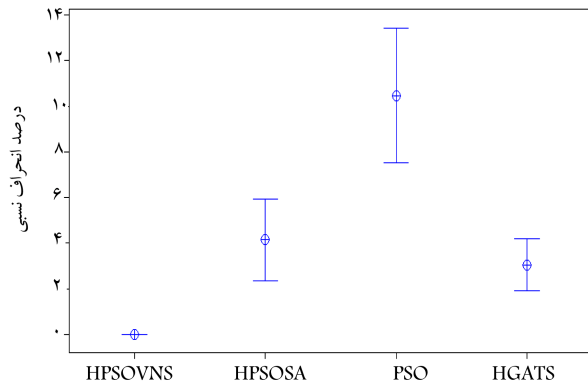
جدول ۱. مقادیر داده‌های تصادفی.

نامدها	مقادیر	پارامترها
تعداد محصولات	{۳، ۲، ..., ۵۰}	P
تعداد قطعات	{۳، ۲، ..., ۱۲}	n
تعداد ماشین‌ها در مرحله‌ی اول	{۳، ۲، ..., ۱۷}	m
زمان پردازش	P_s	عدد صحیح
زمان مونتاژ	A_p	عدد صحیح

جدول ۲. فاکتورها و مقادیر مناسب پارامترهای الگوریتم HPSOVNS.

فراباتکاری	پارامترها	طبقه‌بندی مسائل
PSO	جمعیت اولیه	کوچک متوسط بزرگ
	ضریب یادگیری فردی	۱/۵
	ضریب یادگیری اجتماعی	۰/۵
	وزن اینرسی	۱
	بیشینه‌ی تعداد تکرار الگوریتم	۷۰
VNS	بیشینه‌ی تعداد تکرار الگوریتم چست‌وجوی همسایگی متغیر	۶۰
	تعداد چست‌وجوی همسایگی در رویه چست‌وجوی محلی	۴۰
	بیشینه‌ی تعداد تکرار حلقه اصلی	۴

نمودار فاصله بین الگوریتم های HPSOVNS، HPSOSA، PSO، HGATS
فاصله اطمینان ۹۵٪



شکل ۷. نمودار میانگین مقادیر درصد انحراف نسبی با بازه اطمینان ۹۵٪ برای الگوریتم های پیشنهادی در مسائل بزرگ.

جواب بهیه، از آزمون آماری استفاده شده است. برای انتخاب آزمون آماری مناسب (پارامتریک یا ناپارامتریک)، در ابتدا فرض های بنیادی تحلیل واریانس بررسی می شود. آمار پارامتریک مستلزم پیش فرض هایی است درمورد جامعه بی که از آن نمونه گیری صورت گرفته است. به عنوان مهم ترین پیش فرض ها، فرض می شود که توزیع داده ها نرمال باشد و واریانس فاکتورهای مورد بررسی برابر باشند. با توجه به برابری مقادیر تابع هدف الگوریتم ها در ابعاد کوچک، تحلیل آماری بر روی مسائل با ابعاد متوسط و بزرگ انجام شده است. برای بررسی نرمال بودن داده ها و برابری واریانس الگوریتم ها، به ترتیب از آزمون های اندرسون - دارلینگ و لون استفاده شده است. این آزمون ها در نرم افزار Minitab^{۱۶} با سطح معناداری ۰,۰۵ اجرا شده و نتایج حاصل از آزمون نرمال بودن الگوریتم های پیشنهادی در حل مسائل با ابعاد متوسط و بزرگ، به ترتیب در شکل های ۸ و ۹ نشان داده شده است. چنان که مشاهده می شود، مقادیر P-value هر چهار الگوریتم در ابعاد متوسط و بزرگ

جدول ۳. فاکتورها و مقادیر مناسب پارامترهای الگوریتم HPSOSA.

فرابنده کاری	پارامترها	طبقه بندی مسائل	کوچک	متوسط	بزرگ
PSO	جمعیت اولیه		۲۵	۴۵	۴۵
	ضریب یادگیری فردی		۰,۵	۰,۵	۱,۵
	ضریب یادگیری اجتماعی		۱,۵	۰,۵	۰,۵
	وزن اینرسی		۱	۰,۸	۰,۸
	بیشینه تعداد تکرار الگوریتم		۷۰	۵۰	۵۰
SA	ضریب کاهش دما		۰,۶	۰,۶	۰,۹
	دما اولیه		۱۳۰	۱۰۰	۱۰۰
	تعداد تکرار در هر دما		۸۰	۳۰	۳۰

جدول ۴. فاکتورها و مقادیر مناسب پارامترهای الگوریتم PSO.

فرابنده کاری	پارامترها	طبقه بندی مسائل	کوچک	متوسط	بزرگ
PSO	جمعیت اولیه		۴۵	۴۵	۴۵
	ضریب یادگیری فردی		۱	۰,۵	۱/۵
	ضریب یادگیری اجتماعی		۰,۵	۱/۵	۰,۵
	وزن اینرسی		۰,۸	۰,۸	۱
	حداکثر تعداد تکرار الگوریتم		۱۰۰	۱۰۰	۱۰۰

می شود که الگوریتم PSO در هر دو بعد، عملکرد ضعیفی نسبت به سایر الگوریتم ها را دارد. نتایج بدست آمده نشان می دهد که در کل، الگوریتم HPSOVNS عملکرد بهتری نسبت به دو الگوریتم پیشنهادی و الگوریتم HGATS را دارد. همچنین الگوریتم PSO نسبت به سایر الگوریتم ها از کارایی بسیار کم تری برخوردار است. بنابراین می توان گفت که رویکرد ترکیبی موجب بهبود راه حل ها می شود. در این تحقیق برای مقایسه توانایی الگوریتم های فرابنده کاری در پیدا کردن

جدول ۵. نتایج محاسباتی مسائل نمونه در ابعاد کوچک.

نمونه	سایز	زمان (ثانیه)	محاسباتی												
			HGATS			PSO			HPSOSA			HPSOVNS			Gams
			درصد انحراف	میانگین مقادیر	نسبی C _{max}	میانگین مقادیر									
S ₁	۲,۳,۲,۲	۲	۰	۴۰	۰	۴۰	۰	۴۰	۰	۴۰	۰	۴۰	۰	۴۰	۰
S ₂	۲,۴,۴,۳	۵	۰	۴۱	۰	۴۱	۰	۴۱	۰	۴۱	۰	۴۱	۰	۴۱	۰
S ₂	۳,۳,۶,۳	۹	۰	۵۰	۰	۵۰	۰	۵۰	۰	۵۰	۰	۵۰	۰	۵۰	۰
S _۴	۳,۳,۶,۵	۴۵	۰	۴۵	۰	۴۵	۰	۴۵	۰	۴۵	۰	۴۵	۰	۴۵	۰
S _۵	۴,۲,۴,۴	۲۵	۰	۶۱	۰	۶۱	۰	۶۱	۰	۶۱	۰	۶۱	۰	۶۱	۰
S _۶	۴,۳,۴,۵	۸۵	۰	۳۹	۰	۳۹	۰	۳۹	۰	۳۹	۰	۳۹	۰	۳۹	۰
S _۷	۵,۲,۴,۵	۶۹	۰	۵۵	۰	۵۵	۰	۵۵	۰	۵۵	۰	۵۵	۰	۵۵	۰
S _۸	۵,۴,۴,۶	۱۳۲	۰	۶۷	۰	۶۷	۰	۶۷	۰	۶۷	۰	۶۷	۰	۶۷	۰
S _۹	۸,۲,۴,۴	۳۱۷	۰	۶۱	۰	۶۱	۰	۶۱	۰	۶۱	۰	۶۱	۰	۶۱	۰
S _{۱۰}	۶,۳,۴,۶	۴۵۲	۰	۶۳	۰	۶۳	۰	۶۳	۰	۶۳	۰	۶۳	۰	۶۳	۰

* تعداد (محصول، بیشینه تعداد قطعات، بیشینه تعداد عملیات، بیشینه تعداد ماشین).

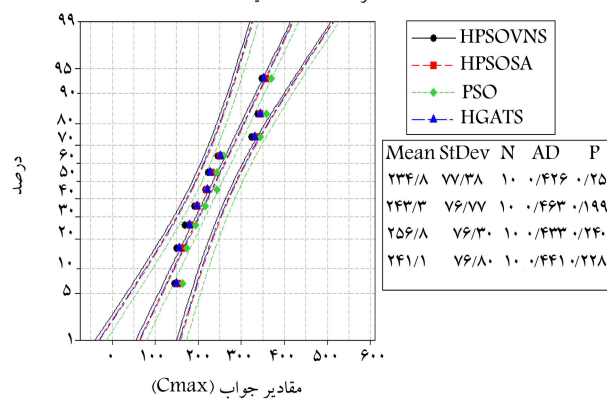
جدول ۶. نتایج محاسباتی مسائل نمونه در ابعاد متوسط.

HGATS				PSO				HPSOSA				HPSOVNS				Gams		نمونه	سایز
درصد انحراف نسبی	انحراف معیار	میانگین مقادیر نسبی	C_{max}	درصد انحراف معیار	انحراف معیار	میانگین مقادیر نسبی	C_{max}	درصد انحراف معیار	انحراف معیار	میانگین مقادیر نسبی	C_{max}	درصد انحراف معیار	انحراف معیار	میانگین مقادیر نسبی	C_{max}	میانگین مقادیر نسبی	C_{max}		
۱۰,۵۹	۱,۴۸	۹۴	۲۹,۴۱	۲,۵۹	۱۱۰	۵,۸۸	۱,۱۲	۹۰	۹,۴۱	۱,۴۸	۹۳	۸۵	۸,۲,۶,۶	M_1					
۱۱,۷۶	۱,۵۸	۱۱۴	۲۷,۴۵	۲,۳۸	۱۳۰	۱۳,۷۳	۲,۲۴	۱۱۶	۷,۸۴	۰,۴۳	۱۱۰	۱۰۲	۸,۲,۶,۸	M_2					
۱۰,۲۰	۱,۹۲	۱۰۸	۲۸,۵۷	۱,۱۲	۱۲۶	۶,۱۲	۱,۴۸	۱۰۴	۸,۱۶	۲,۱۲	۱۰۶	۹۸	۹,۲,۶,۹	M_3					
۹,۵۲	۲,۰۵	۱۶۱	۲۱,۷۷	۲,۱۷	۱۷۹	۸,۱۶	۱,۴۱	۱۵۹	۴,۰۸	۱,۴۸	۱۵۳	۱۴۷	۱۰,۵,۶,۶	$M_۴$					
۲۰,۷۳	۲,۷۴	۹۹	۴۲,۶۸	۲,۱۷	۱۱۷	۲۰,۷۳	۲,۷۴	۹۹	۱۰,۹۸	۱,۶۴	۹۱	۸۲	۹,۳,۶,۱۱	$M_۵$					
۲۴,۴۲	۲,۶۸	۹۲	۳۶,۴۹	۲,۳۸	۱۰۱	۱۴,۸۶	۱,۵۸	۸۵	۶,۷۶	۱	۷۹	۷۴	۶,۵,۷,۱۲	$M_۶$					
۱۶,۶۷	۱,۹۲	۱۰۵	۲۵,۵۶	۳,۶۴	۱۱۳	۱۷,۷۸	۲,۹۶	۱۰۶	۶,۶۷	۱,۷۹	۹۶	۹۰	۸,۴,۶,۱۲	$M_۷$					
۱۰,۲۹	۱,۸	۱۵۰	۲۳,۰۹	۲,۱۲	۱۸۱	۱۱,۰۳	۱,۹۲	۱۵۱	۵,۱۵	۲,۵۹	۱۴۳	۱۳۶	۱۳,۲,۶,۹	$M_۸$					
۱۰,۱۵	۲,۲۹	۲۱۷	۱۶,۷۵	۳,۷	۲۳۰	۸,۶۳	۱,۸۷	۲۱۴	۴,۰۶	۱,۹۲	۲۰۵	۱۹۷	۱۳,۳,۵,۵	$M_۹$					
۱۱,۲۸	۲,۵	۱۴۶	۲۱,۸۰	۳,۳۲	۱۶۲	۱۰,۵۳	۱,۴۸	۱۴۷	۳,۷۶	۱,۸	۱۳۸	۱۳۳	۱۲,۲,۶,۱۰	$M_{۱۰}$					

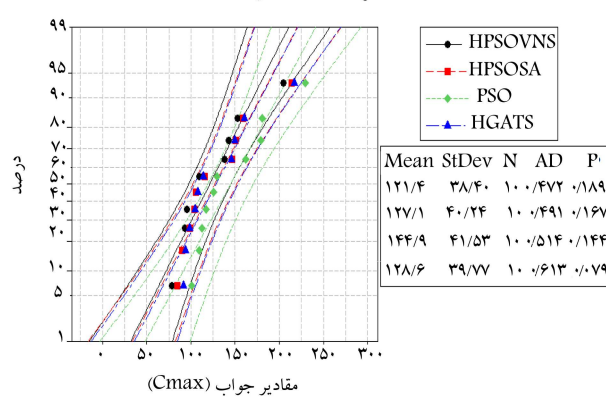
جدول ۷. نتایج محاسباتی مسائل نمونه در ابعاد بزرگ.

HGATS				PSO				HPSOSA				HPSOVNS				نمونه	سایز
درصد انحراف نسبی	انحراف معیار	میانگین مقادیر نسبی	C_{max}	درصد انحراف معیار	انحراف معیار	میانگین مقادیر نسبی	C_{max}	درصد انحراف معیار	انحراف معیار	میانگین مقادیر نسبی	C_{max}	درصد انحراف معیار	انحراف معیار	میانگین مقادیر نسبی	C_{max}		
۴,۱۷	۱,۸۷	۱۵۰	۱۳,۸۹	۲,۶۹	۱۶۴	۶,۲۵	۳,۱۱	۱۵۳	۰	۱,۱۲	۱۴۴	۹,۴,۶,۱۴	L_1				
۶,۵۱	۱,۴۱	۱۸۰	۱۴,۷۹	۲,۶۸	۱۹۴	۷,۶۹	۲,۵۵	۱۸۲	۰	۱,۴۸	۱۶۹	۱۳,۳,۶,۱۷	L_2				
۳,۱۴	۰,۸۳	۱۹۷	۱۳,۶۱	۱,۵۸	۲۱۷	۳,۶۶	۱,۵۸	۱۹۸	۰	۱,۳	۱۹۱	۱۱,۱۲,۳,۶	$L_۳$				
۲,۳۱	۲,۰۹	۲۲۱	۱۲,۰	۲,۶۹	۲۴۳	۱,۸۵	۲,۱۷	۲۲۰	۰	۱,۰۹	۲۱۶	۱۷,۴,۹,۹	$L_۴$				
۴,۷	۱,۸	۱۵۶	۱۶,۱۱	۲,۱۷	۱۷۳	۸,۷۲	۲,۳۸	۱۶۲	۰	۰,۷۱	۱۴۹	۲۵,۲,۱۰,۱۴	$L_۵$				
۲,۲۴	۰,۸	۲۲۸	۹,۴۲	۲,۲۸	۲۴۴	۲,۵۹	۱,۸۷	۲۳۱	۰	۱,۶۸	۲۲۳	۳۰,۶,۴,۸	$L_۶$				
۲,۰۳	۲,۲۹	۲۵۱	۵,۶۹	۳,۳۴	۲۶۰	۱,۶۳	۱,۵۸	۲۵۰	۰	۱,۰۹	۲۴۶	۳۳,۴,۷,۶	$L_۷$				
۲,۱۶	۲,۲۴	۲۳۱	۶,۱۷	۳,۱۱	۲۴۴	۳,۰۹	۱,۴۸	۲۳۴	۰	۰,۸۷	۲۲۴	۳۸,۳,۹,۷	$L_۸$				
۱,۴۴	۲,۷۴	۳۵۳	۶,۳۲	۱,۸۷	۳۷۰	۲,۸۷	۱,۹۲	۳۵۸	۰	۱,۶۴	۳۴۸	۴۲,۲,۶,۷	$L_۹$				
۱,۷۸	۱,۴۸	۳۴۴	۶,۲۱	۲,۹۵	۳۵۹	۲,۰۷	۱,۸	۳۴۵	۰	۱,۹۲	۳۳۸	۵۰,۳,۶,۹	$L_{۱۰}$				

نمودار احتمال الگوریتم های HPSOVNS, HPSOSA, PSO, HGATS
نرمال - فاصله اطمینان ۹۵٪



نمودار احتمال الگوریتم های HPSOVNS, HPSOSA, PSO, HGATS
نرمال - فاصله اطمینان ۹۵٪



شکل ۸. آزمون نرمال بودن مقادیر الگوریتم ها برای مسائل با ابعاد متوسط.

شکل ۹. آزمون نرمال بودن مقادیر الگوریتم ها برای مسائل نمونه با ابعاد بزرگ.

جدول ۸. نتایج آنالیز واریانس طرح بلوکی تصادفی برای مسائل با ابعاد متوسط.

منبع	مجموع مربعات	درجه آزادی	میانگین مربعات	آماره F	P-value
فاکتور	۳۰۵۳/۴	۳	۱۰۱۷/۸	۷۷/۵	۰
بلوک	۵۷۲۴۶	۹	۶۳۶۰/۷	۴۸۴/۳	۰
خطا	۳۵۴	۲۷	۱۳/۱۳		
کل	۷۴۱۸۶۴	۴۰			

جدول ۹. نتایج آنالیز واریانس طرح بلوکی تصادفی برای مسائل با ابعاد بزرگ.

منبع	مجموع مربعات	درجه آزادی	میانگین مربعات	آماره F	P-value
فاکتور	۲۵۷۳/۸	۳	۸۵۷/۹۳	۱۶۰/۰۸۴	۰
بلوک	۲۱۲۲۶۱/۵	۹	۲۳۵۸۴/۶۱	۴۴۰۰/۷	۰
خطا	۱۴۴/۷	۲۷	۵/۳۶		
کل	۲۵۹۶۴۲۰	۴۰			

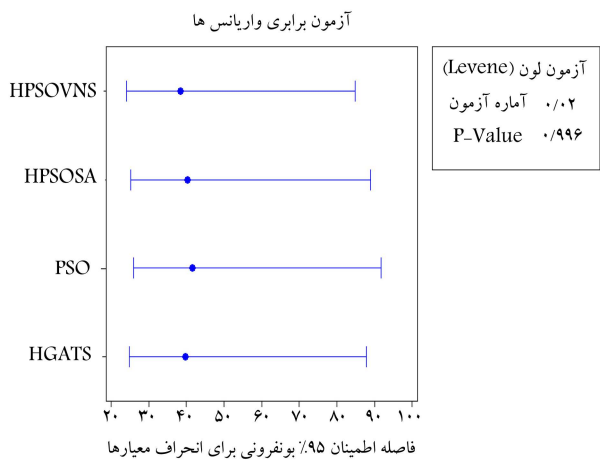
جدول ۱۰. نتایج آزمون حداقل اختلاف معنادار برای مسائل با ابعاد متوسط.

P-value	الگوریتمها	الگوریتم
۰/۰۰۲	HPSOSA	
۰	PSO HPSOVNS	
۰	HGATS	
۰	PSO	HPSOSA
۰/۳۶۳	HGATS	
۰	HGATS PSO	

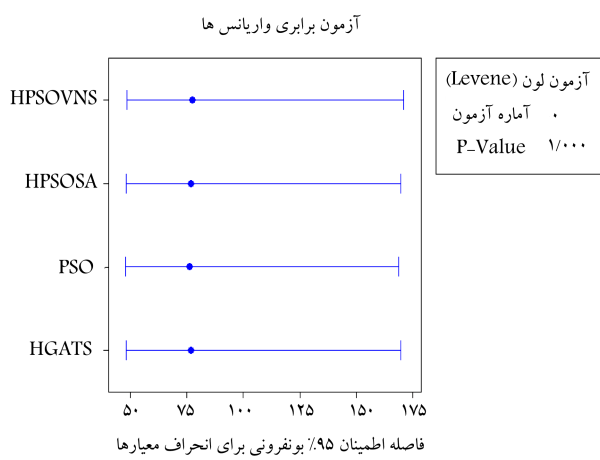
جدول ۱۱. نتایج آزمون حداقل اختلاف معنادار برای مسائل با ابعاد بزرگ.

P-value	الگوریتمها	الگوریتم
۰	HPSOSA	
۰	PSO HPSOVNS	
۰	HGATS	
۰	PSO	HPSOSA
۰/۰۴۳	HGATS	
۰	HGATS PSO	

الگوریتمها کمتر از سطح معناداری ۵٪ است. لذا نتایج نشان می‌دهد که سایر الگوریتمها در بعد متوسط، از نظر توانایی در رسیدن به جواب بهینه، با یکدیگر اختلاف معنادار دارند. چنان که در جدول ۱۱ مشاهده می‌شود، مقادیر P-value مقایسه‌ی دو بهدو همه الگوریتمها کمتر از سطح معناداری ۵٪ است. لذا نتایج نشان می‌دهد که هر چهار الگوریتم در بعد بزرگ، از نظر توانایی در رسیدن به جواب بهینه، با یکدیگر اختلاف معنادار دارند. براساس میانگین مقادیر الگوریتمها می‌توان بیان کرد که میانگین الگوریتم HPSOVNS در هر دو بعد کمتر از سه الگوریتم دیگر است، لذا این الگوریتم عملکرد بهتری نسبت به سایر الگوریتمها دارد.



شکل ۱۰. آزمون برابری واریانس‌های مقادیر الگوریتم‌ها برای مسائل با ابعاد متوسط.



شکل ۱۱. آزمون برابری واریانس‌های مقادیر الگوریتم‌ها برای مسائل با ابعاد بزرگ.

بیشتر از ۵٪ است. بنابراین هر چهار الگوریتم در ابعاد متوسط و بزرگ دارای توزیع نرمال هستند. نتایج آزمون برابری واریانس الگوریتم‌ها در حل مسائل با ابعاد متوسط و بزرگ به ترتیب در شکل‌های ۱۰ و ۱۱ نشان داده شده است. مقادیر P-value این آزمون در هر دو بعد بیشتر از سطح معناداری ۵٪ است. بنابراین، واریانس الگوریتم‌ها با یکدیگر برابرند. با توجه به نتایج آزمون‌های انجام شده در فوق، فرض‌های استفاده از آزمون پارامتریک برقار است.

در این تحقیق، از تحلیل واریانس طرح بلوکی تصادفی استفاده شده است. در این آزمون، الگوریتم‌ها به عنوان فاکتور و سایر عوامل تأثیرگذار به عنوان بلوک در نظر گرفته شده‌اند. آنالیز واریانس طرح بلوکی تصادفی در نرم‌افزار Spss انجام و نتایج این آزمون برای ابعاد متوسط و بزرگ مسئله محاسبه و به ترتیب در جداول ۸ و ۹ نشان داده شده است. در این جداول، مقادیر P-value الگوریتم‌ها و بلوک‌ها کمتر از سطح معناداری ۵٪ است، لذا فرض صفر ردمی شود. برای این‌که مشخص شود کدام الگوریتم‌ها با یکدیگر اختلاف معنادار دارند، از آزمون حداقل اختلاف معنادار ۱٪ استفاده شده است. نتایج این آزمون برای ابعاد متوسط و بزرگ به ترتیب در جداول ۱۰ و ۱۱ نشان داده شده است. در جدول ۱۰ مقادیر P-value دو الگوریتم HPSOSA و HGATS بیشتر از سطح معناداری ۵٪ دو بهدو الگوریتم‌های HPSOVNS و PSO نیز نشان داده شده است. بنابراین می‌توان گفت اختلاف معناداری بین این دو الگوریتم در بعد متوسط وجود ندارد و از نظر عملکردی یکسان‌اند. مقادیر P-value مقایسه‌ی دو بهدو سایر

۶. نتیجه‌گیری

از این الگوریتم‌ها کمتر از نرم‌افزار گمز است. برای مسائل نمونه در ابعاد متوسط نیز جواب مدل توسط نرم‌افزار گمز طی تقریباً دو ساعت اجرا محاسبه شد. به دلیل زیاد بودن زمان محاسباتی، مسائل نمونه در ابعاد متوسط توسط الگوریتم‌های پیشنهادی حل شد. بهمنظور مقایسه توانایی الگوریتم‌های فرالایتکاری در یافتن جواب بهینه در ابعاد متوسط و بزرگ، از آنالیز واریانس طرح بلوکی تصادفی استفاده شد. نتایج این آزمون نشان داد که در هر دو بعد، عملکرد الگوریتم HPSOVNS نسبت به الگوریتم‌های پیشنهادی و الگوریتم ترکیبی لی و گانو^[۲۳] بهتر است. از طرفی طی انجام محاسبات مشاهده شد که الگوریتم بهینه‌سازی ازدحام ذرات در هر دو بعد، به نتایج ضعیفتری نسبت به سایر الگوریتم‌ها دست می‌یابد. لذا می‌توان بیان کرد که رویکرد ترکیبی موجب رسیدن به جواب‌های با کیفیت و پایدارتر می‌شود.

در ادامه، پیشنهادات برای تحقیقات آتی عبارت است از: درنظرگرفتن جریان محموله در صورتی که بیش از یک محصول وجود داشته باشد، ارائه مدل در حالت چندهدفه و درنظرگرفتن توابع هدف دیگر، درنظرگرفتن حالت احتمالی و غیرقطعی برای پارامترهای مسئله، همچنین بهمنظور بالا بردن سرعت همگرایی پیشنهاد می‌شود از ترکیب سایر الگوریتم‌های فرالایتکاری و جست‌وجوی محلی استفاده شود که ضمن تولید جواب‌های با کیفیت از سرعت همگرایی خوبی برخوردار باشند.

در نوشتار حاضر مسئله زمان‌بندی تولید کارگاهی انعطاف‌پذیر با عملیات مونتاز و زمان آماده‌سازی و استهله به توالي مورد بررسی قرار گرفت. در این سیستم تولیدی، قطعات در مرحله‌ی تولید کارگاهی انعطاف‌پذیر تولید شده و بعد از آماده‌سازی قطعات، در مرحله‌ی مونتاز با یکدیگر مونتاز می‌شوند. بهمنظور حل مسئله یک مدل ریاضی توسعه داده شده که توانایی دست‌یابی به جواب بهینه برای مسائل با ابعاد کوچک و متوسط را دارد. با توجه به پیچیدگی بالای مسئله مورد بررسی، الگوریتم بهینه‌سازی ازدحام ذرات و دو الگوریتم فرالایتکاری ترکیبی برای حل مسائل با ابعاد متوسط و بزرگ پیشنهاد شد. در رویکردهای ترکیبی پیشنهادی، الگوریتم بهینه‌سازی ازدحام ذرات به کاوش در فضای جست‌وجو و الگوریتم‌های جست‌وجوی همسایگی متغیر و شبیه‌سازی تبرید به تبعیت از بهترین راه حل به دست آمده در هر تکرار می‌پردازند. بهمنظور اعتبارسنجی الگوریتم‌های پیشنهادی، نتایج به دست آمده از الگوریتم‌ها با الگوریتم ترکیبی ژنتیک و جست‌وجوی ممنوع لی و گانو^[۲۳] مقایسه شد. برای مسائل با ابعاد کوچک، نتایج نشان داد که الگوریتم‌های پیشنهادی و الگوریتم ترکیبی لی و گانو^[۲۳] به جواب بهینه مشابه راه حل بهینه به دست آمده توسط گمن دست می‌یابند. با این تفاوت که با افزایش ابعاد مسئله، زمان محاسباتی حاصل

پانوشت‌ها

1. flexible job shop scheduling with assembly operation
2. two-stage production system
3. genetic algorithms (GA)
4. greedy random adaptive search procedure (GRASP)
5. artificial immune system (AIS)
6. simulated annealing (SA)
7. particle swarm optimization (PSO)
8. personal-best (P-best)
9. global-best (G-best)
10. hybrid particle swarm optimization and variable neighborhood search (HPSOVNS)
11. variable neighborhood search (VNS)
12. hybrid particle swarm optimization and simulated annealing (HPSOSA)
13. hybrid genetic algorithm and tabu search (HGATS)
14. least significant difference (LSD)

منابع (References)

1. Lee, C.Y., Cheng, T.C.E. and Lin, B.M.T. "Minimizing the makespan in the 3-machine assembly-type flow shop scheduling problem", *Management Science*, **39**(5), pp. 616-625 (1993).
2. Potts, C.N., Sevast' Janov, S.V., Strusevich, V.A., Van Wassenhove, L.N. and Zwaneveld, C.M. "The two-stage assembly scheduling problem: Complexity and approximation", *Operations Research*, **43**(2), pp. 346-355 (1995).
3. Allahverdi, A., Gupta, J.N.D. and Aldowaisan, T. "A review of scheduling research involving set up considerations", *OMEGA*, **27**(2), pp. 219-239 (1999).
4. Hariri, A.M.A. and Potts, C.N. "A branch and bound algorithm for the two-stage assembly scheduling problem", *European Journal of Operational Research*, **103**(3), pp. 547-556 (1997).
5. Zhang, R. "Simulation-based genetic algorithm for job shop scheduling with assembly operations", *International Journal of Advancements in Computing Technology*, **3**(10), pp. 132 (2011).
6. Daneshamooz, F., Jabbari, M. and Fattah, P. "A model for job shop scheduling with a parallel assembly stage to minimize makespan", *Journal of Industrial Engineering Research in Production Systems*, **2**(4), pp. 39-53 (2015).
7. Fattah, P., Hosseini, S.M.H. and Jolai, F. "Some heuristics for the hybrid flow shop scheduling problem with setup and assembly operations", *International Journal of Industrial Engineering Computations*, **4**(3), pp. 393-416 (2013).
8. Komaki, G.M., Teymourian, E. and Kayvanfar, V. "Minimising makespan in the two-stage assembly hybrid flow shop scheduling problem using artificial immune systems", *International Journal of Production Research*, **54**(4), pp. 963-83 (2015).
9. Fattah, P., Hosseini, S.M.H. and Jolai, F. "A mathematical model and extension algorithm for assembly flexible flow shop scheduling problem", *The International Journal of Advance Manufacture Technology*, **65**(5), pp. 787-802 (2013).

10. Nejati, M., Mahdavi, I., Hassanzadeh, R. and Mahdavi-Amiri, N. "Lot streaming in a two-stage assembly hybrid flow shop scheduling problem with a work shift constraint", *Journal of Industrial and Production Engineering*, **33**(7), pp. 459-471 (2016).
11. Yokoyama, M. "Flow-shop scheduling with setup and assembly operations", *European Journal of Operational Research*, **187**(3), pp. 1184-1195 (2008).
12. Allahverdi, A. and Al-Anzi, F.S. "The two-stage assembly scheduling problem to minimize total completion time with set up times", *Computers & Operations Research*, **36**(10), pp. 2740-2747 (2009).
13. Navaei, J., Fatemi-Ghom, S.M.T., Jolai, F. and Mozdigir, A. "Heuristics for an assembly flow-shop with non-identical assembly machines and sequence dependent setup times to minimize sum of holding and delay costs", *Computers & Operations Research*, **44**, pp. 52-65 (2014).
14. Azadeh, A., Jeihoonian, M., Maleki-SHoja, B. and Seyedmahmoudi, S.H. "An integrated neural network-simulation algorithm for performance optimization of the bi-criteria two-stage assembly flow-shop scheduling problem with stochastic activities", *International Journal of Production Research*, **50**(24), pp. 7271-7284 (2012).
15. Garey, M.R., Johnson, D.S. and Sethi, R. "The complexity of flow shop and job shop scheduling", *Mathematics of Operations Research*, **1**(2), pp. 117-129 (1976).
16. Lian, Z., Gu, X. and Jiao, B. "A novel particle swarm optimization algorithm for permutation flow shop scheduling to minimize makespan", *Chaos, Solitons and Fractals*, **35**(5), pp. 851-861 (2008).
17. Bo, L., Ling, W., Yi-Hui, J., Fang, T. and De-Xian, H. "Improved particle swarm optimization combined with chaos", *Chaos, Solitons & Fractals*, **25**(5), pp. 1261-1271 (2005).
18. Shi, X.H., Liang, Y.C., Lee, H.P., Lu, C. and Wang, L.M. "An improved GA and a novel PSO-GA based hybrid algorithm", *Information Processing Letters*, **93**(5), pp. 255-261 (2005).
19. Kennedy, J. and Mendes, R. "Population structure and particle swarm performance", *Proceedings of the 2002 Congress on Evolutionary Computation*, **2**, pp. 1671-1676 (2002).
20. Fan, H.Y. "A modification to particle swarm optimization algorithm", *Engineering Computations*, **19**(8), pp. 970-989 (2002).
21. Robinson, J., Sinton, S. and Rahmat-Samii, Y. "Particle swarm, genetic algorithm, and their hybrids: Optimization of a profiled corrugated horn antenna", in: *IEEE Antennas and Propagation Society International Symposium*, San Antonio, pp. 314-317 (2002).
22. Saidi-Mehrabad, M. and Fattah, P. "Flexible job shop scheduling with tabu search algorithms", *The International Journal of Advanced Manufacturing Technology*, **32**(5), pp. 563-570 (2007).
23. Eberhart, R. and Kennedy, J. "A new optimizer using particle swarm theory", In *Conference: Proceedings of the Sixth International Symposium on Micro Machine and Human Science*, Nagoya, Japan, pp. 39-43 (1995).
24. Mladenovic, N. and Hansen, P. "Variable neighborhood search", *Computers and Operations Research*, **24**(11), pp. 1097-1100 (1997).
25. Hansen, P. and Mladenovic, N. "Variable neighborhood search: Principles and applications", *European Journal of Operational Research*, **130**(3), pp. 449-467 (2001).
26. Gen, M., Tsujimura, Y. and Kubota E. "Solving job-shop scheduling problem using genetic algorithms", In: *Proceedings of the 16th International Conference on Computer and Industrial Engineering*, Ashikaga, Japan, pp. 576-579 (1994).
27. Pezzella, F., Morganti, G. and Ciaschetti, G. "A genetic algorithm for the flexible job-shop scheduling problem", *Computers & Operations Research*, **35**(10), pp. 3202-3212 (2008).
28. Kacem, I., Hammadi, S. and Borne, P. "Approach by localization and multi objective evolutionary optimization for flexible job-shop scheduling problems", *IEEE Transactions on Systems, Man, and Cybernetics, Part C*, **32**(1), pp. 1-13 (2002).
29. Yazdani, M., Amiri, M. and Zandieh, M. "Flexible job-shop scheduling with parallel variable neighborhood search algorithm", *Expert Systems with Applications*, **37**(1), pp. 678-687 (2010).
30. Metropolis, N., Rosenbluth, A.W., Rosenbluth, M.N., Teller, A.H. and Teller, E. "Equation of state calculation by fast computing machines", *The Journal of Chemical Physics*, **21**, pp. 1087-1091 (1953).
31. Kirkpatrick, S., Gelatt, C.D. and Vecchi, M.P. "Optimization by simulated annealing", *Science, New Series*, **220**, pp. 671-680 (1983).
32. Varadharajan, T.K. and Rajendran, C. "A multi-objective simulated-annealing algorithm for scheduling in flow shops to minimize the makespan and total flow time of jobs", *European Journal of Operational Research*, **167**(3), pp. 772-795 (2005).
33. Li, X. and Gao, L. "An effective hybrid genetic algorithm and tabu search for flexible job shop scheduling problem", *International Journal of Production Economics*, **174**, pp. 93-110 (2016).